

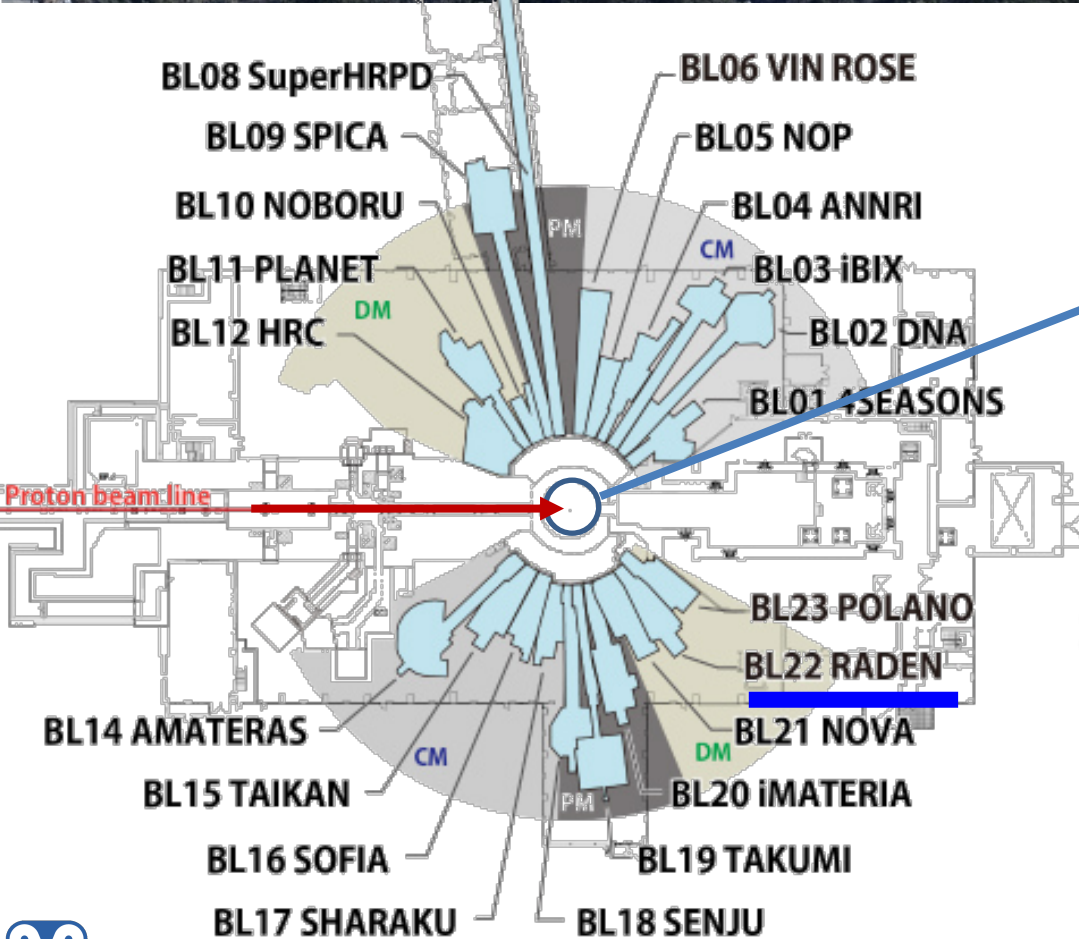
# J-PARCのパルス中性子イメージング装置 螺鈿の現状

日本原子力研究開発機構 J-PARCセンター  
篠原 武尚

[takenao.shinohara@j-parc.jp](mailto:takenao.shinohara@j-parc.jp)

## 螺鈿装置メンバー

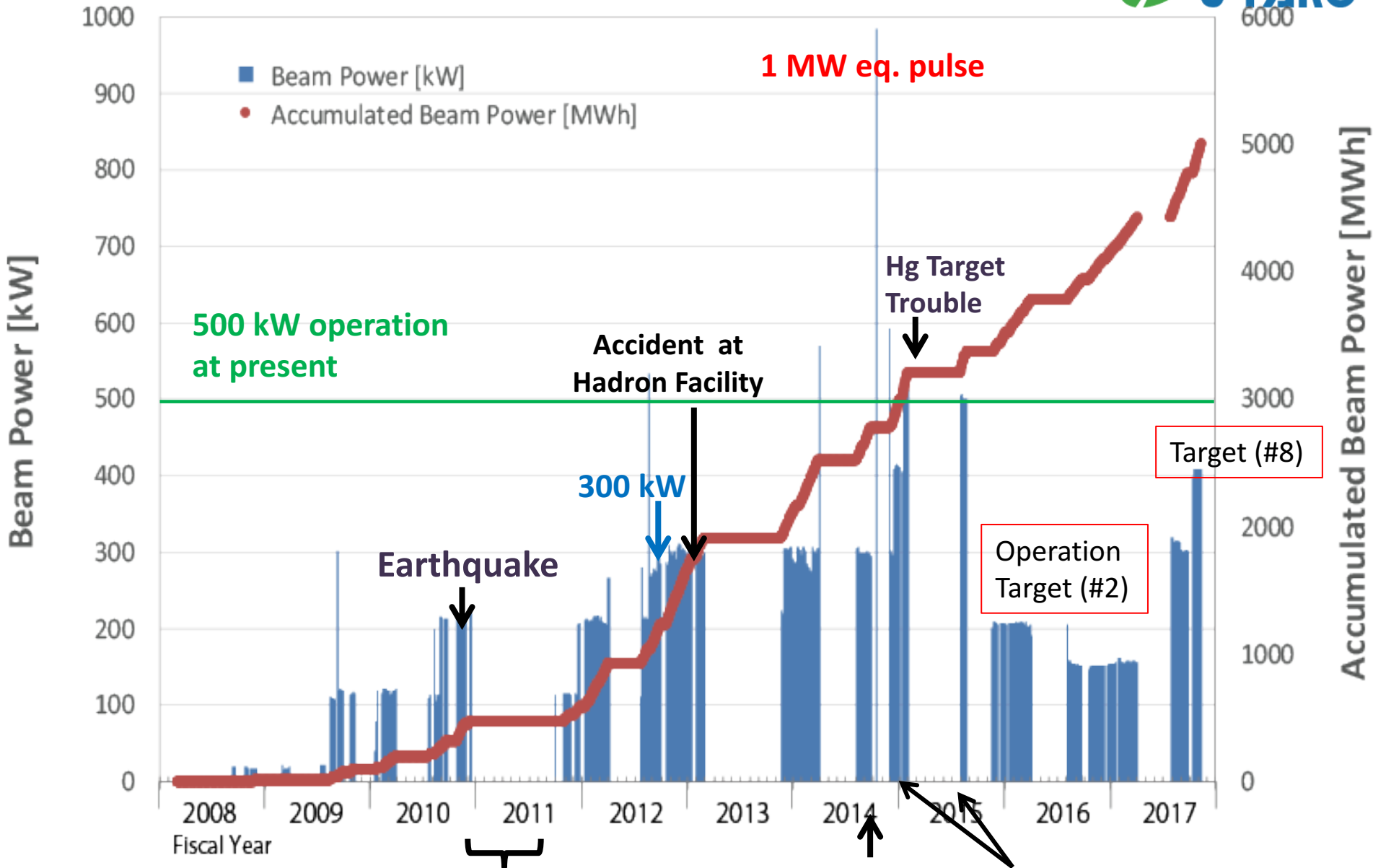
甲斐哲也、及川健一、瀬川麻里子、中谷健、  
廣井孝介、蘇玉華、關義親(J-PARC)  
林田洋寿、J.D. Parker、松本吉弘、桐山幸治 (CROSS)  
鬼柳善明(名古屋大)



**23 Neutron Beam Ports**  
**Operation :20**  
**Commissioning: 1**

**4 Muon Beam Ports**

# J-PARC Beam Power History



~10 months interruption due to the earthquake

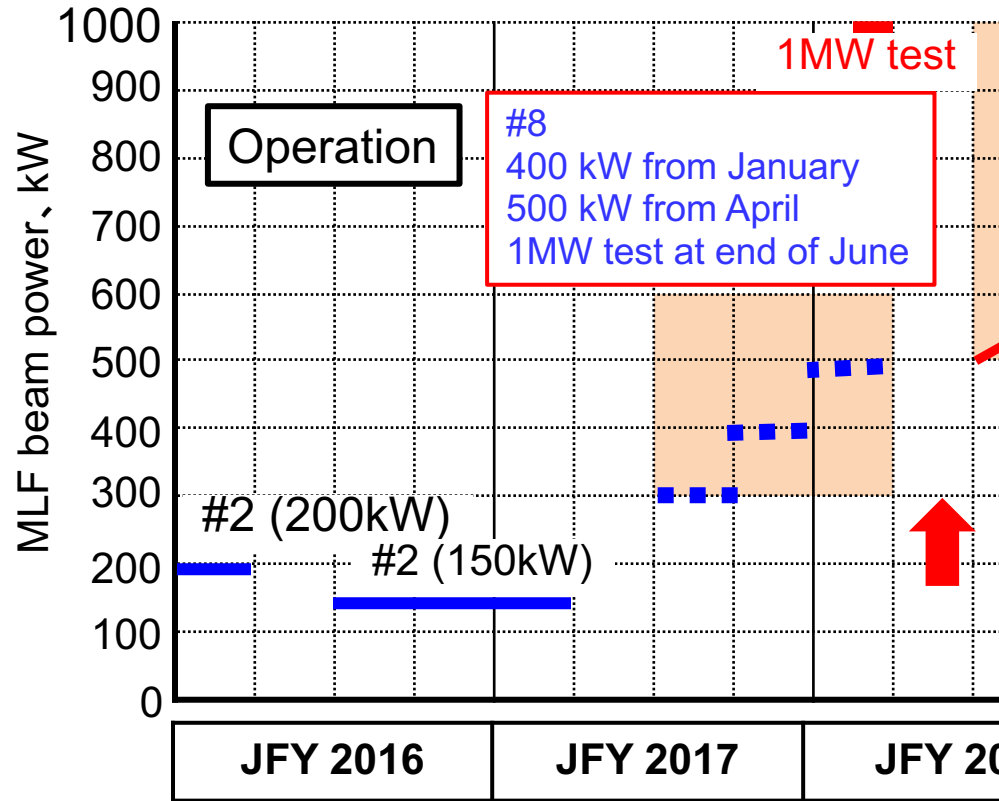
~1 month interruption due to the fire in MLF

Interruption due to troubles of Hg-target



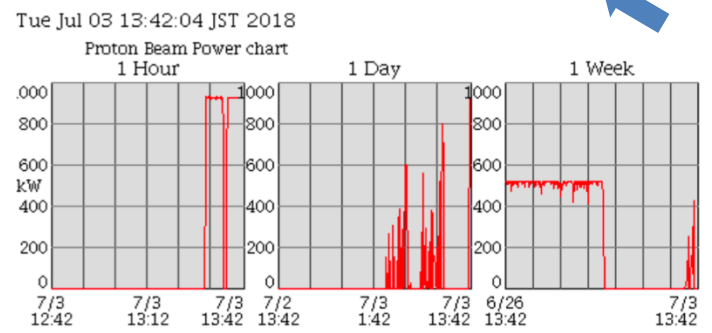
# Scenario for 1MW Beam Power Operation

We are expecting full-power

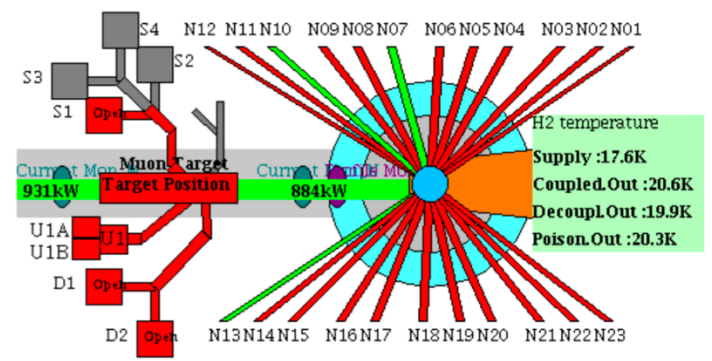


Status

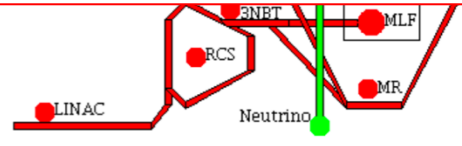
MLF Beam Power :931kW  
Tue Jul 03 13:42:04 JST 2018



Tue Jul 03 13:42:04 JST 2018



Succeeded in 1MW operation on July 3rd.

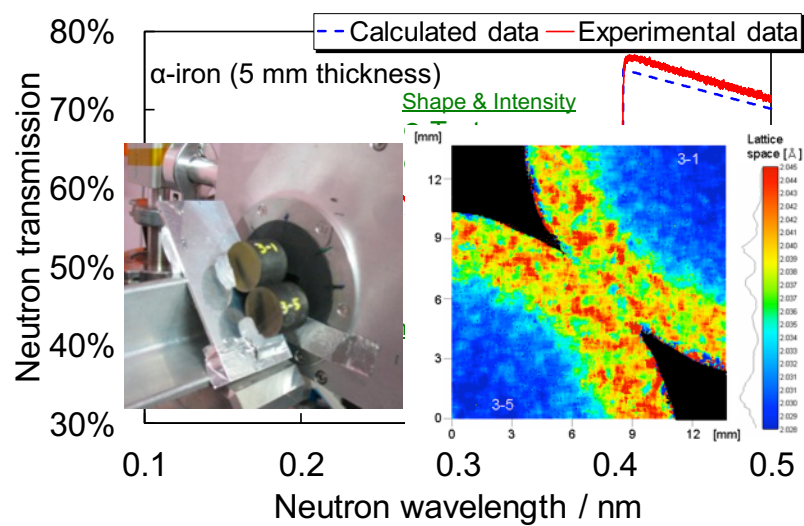


# エネルギー分析型イメージング

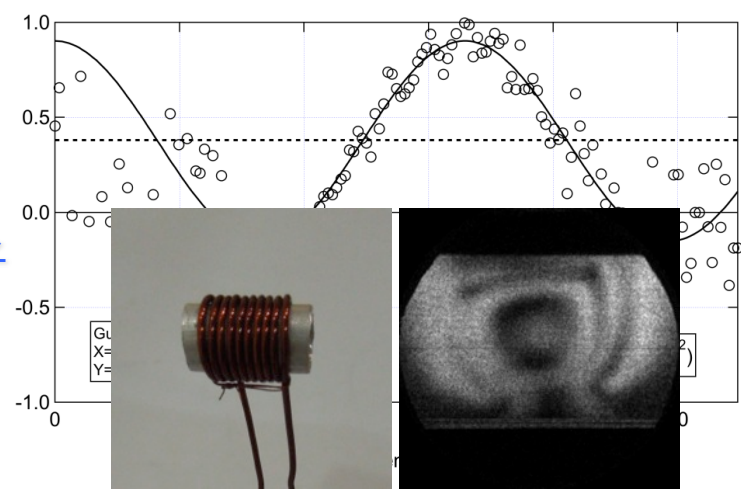
中性子と物質等との相互作用のエネルギー依存性を解析  
 → 物理量の空間分布を可視化

- ✓ TOF分析 → エネルギー依存性の測定に適している
- ✓ エネルギー（波長）分解能が高い →  $\Delta\lambda/\lambda < 0.5\%$
- ✓ 幅広いエネルギーの中性子ができる → 冷中性子(meV)～熱外中性子(keV)

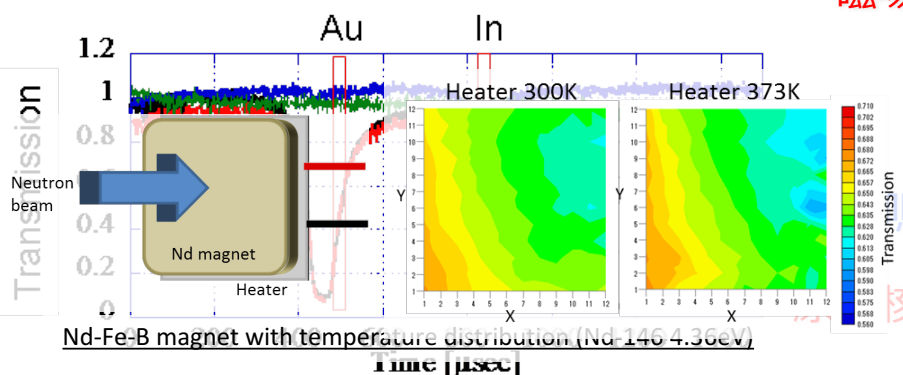
パルス中性子はエネルギー分析型イメージングに最適



ブラッグエッジ  
 結晶組織情報



偏極中性子  
 磁場情報



中性子吸収  
 核種・温度情報

## 世界最初のパルス中性子イメージング専用ビームライン

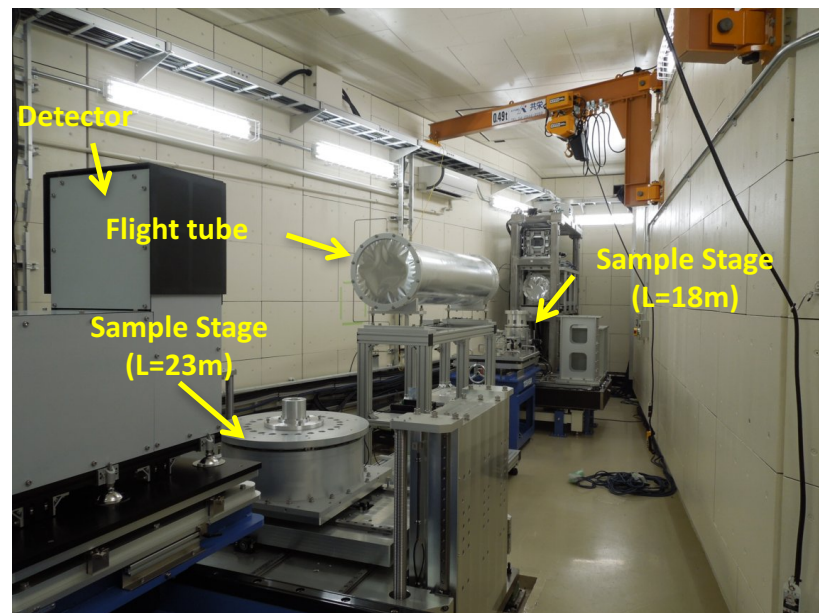
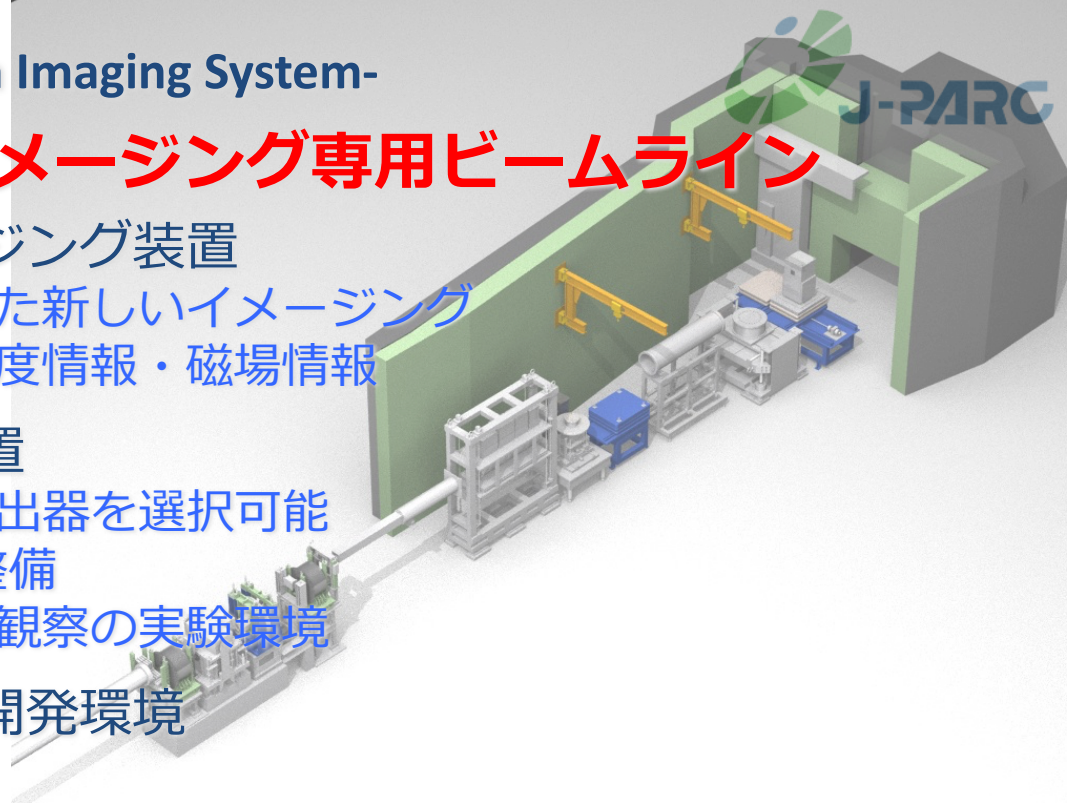
エネルギー分析型中性子イメージング装置

- ・パルス中性子の特徴を活かした新しいイメージング  
→核種情報・結晶組織情報・温度情報・磁場情報

高性能中性子ラジオグラフィ装置

- ・FOVと空間分解能に応じて検出器を選択可能
- ・高速CT再構成用計算環境を整備
- ・大型試料、特殊環境、その場観察の実験環境

新しい中性子イメージング技術開発環境



# 基本性能

## 波長範囲

$\lambda < 8.8 \text{ \AA}$  @L=18m

$\lambda < 6.9 \text{ \AA}$  @L=23m

## 波長分解能

$\Delta\lambda/\lambda = 0.26\%$  @L=18m

$\Delta\lambda/\lambda = 0.20\%$  @L=23m

## 時間平均中性子束 (< 0.5 eV)

$2.6 \times 10^7 \text{ n/sec/cm}^2$  @L/D=180

$1.6 \times 10^7 \text{ n/sec/cm}^2$  @L/D=230

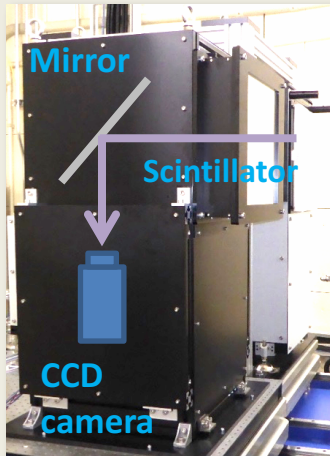
## ビームサイズとL/D

- ・中性子回折検出器  
ブラッグエッジデータの高精度化
- ・ガンマ線検出器  
共鳴吸収データの解析補助
- ・3次元偏極度解析装置  
磁場イメージング用
- ・Talbot-Lau干渉計  
位相イメージング用
- ・試料高温加熱装置
- ・ユーティリティ  
冷却水、ガス導入、電力、圧縮空気、クレーン

	Collimator	100x100	50.1mmφ at 3.1m	26.4mmφ at 4.3m	15mmφ at 8m	5mmφ at 8m	2mmφ at 8m
L=23 m	L/D (calc.)	230	400	720	1000	3000	7500
	L/D <b>(measured)</b>	<b>251</b>	<b>446</b>	<b>715</b>	<b>990</b>	<b>3005</b>	-
	Beam Size (calc.)	100	250	300	144	173	181
	Beam Size <b>(measured)</b>	<b>103(H)</b> <b>104(V)</b>	<b>263(H)</b> <b>265(V)</b>	<b>300(H)</b> <b>301(V)</b>	<b>209(H)</b> <b>162(V)</b>	<b>230(H)</b> <b>197(V)</b>	<b>210(H)</b> <b>197(V)</b>

## RADENで利用可能な検出器

### Camera type



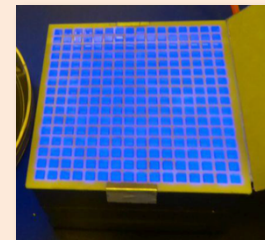
#### Single-mirror CCD camera

- Andor iKon-L, EMCCD
- $\Delta x > 50\mu\text{m}$
- No TOF
- Automated system for CT

### Counting type

#### nGEM

- Micro-pattern
- $^{10}\text{B}$  (10% eff.)
- FOV:  $10 \times 10 \text{ cm}^2$
- $\Delta x = 1\text{mm}$ ,  $\Delta t = 15\text{ns}$ ,  $< 0.5 \text{ Mcps}$



#### LiTA12

- Li-glass scint. (23% eff.)
- FOV:  $5 \times 5 \text{ cm}^2$
- $\Delta x = 3\text{mm}$ ,  $\Delta t = 40\text{ns}$ ,  $6 \text{ Mcps}$

#### Neutron Color I.I.

- High-resolution ( $\Delta x = 100 \mu\text{m}$ )
- High-speed (10k, 30k, 100k fps)

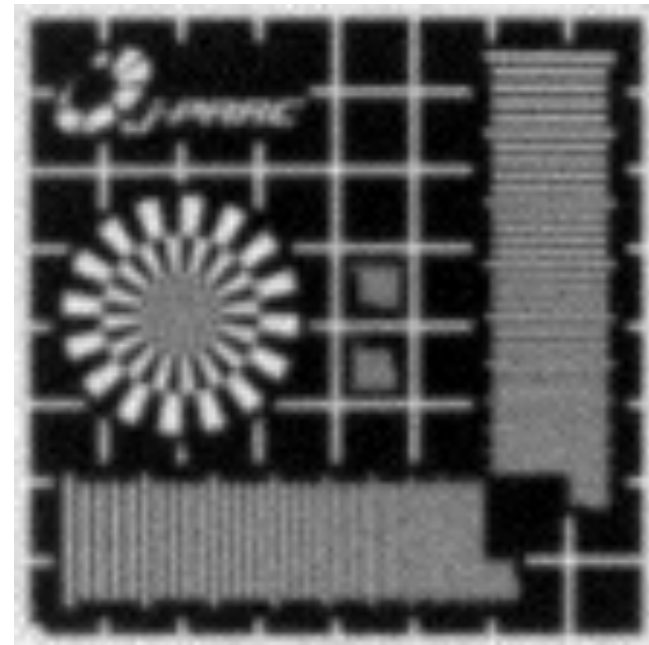


#### $\mu\text{NID}$

- Micro-pattern
- $^3\text{He}$  (26% eff.)
- FOV:  $10 \times 10 \text{ cm}^2$
- $\Delta x = 0.1\text{mm}$ ,  $\Delta t = 0.25\mu\text{s}$ ,  $1 \text{ Mcps}$



## 空間分解能の比較

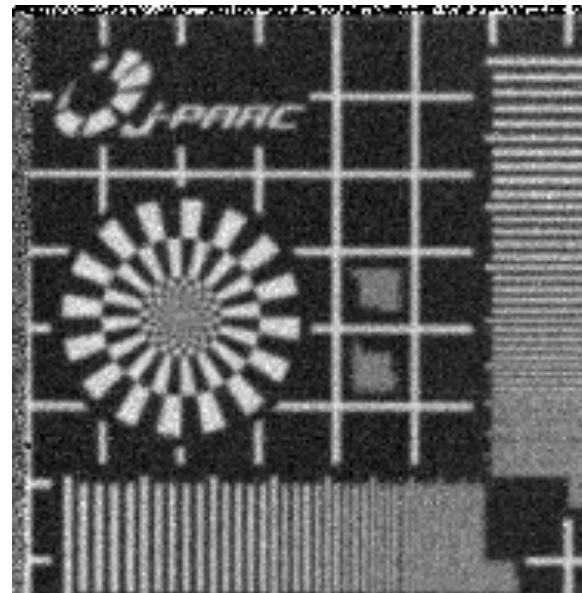


**nGEM**

Spatial resolution: 1 mm

Count Rate: < 0.2 Mcps

Efficiency: 10%

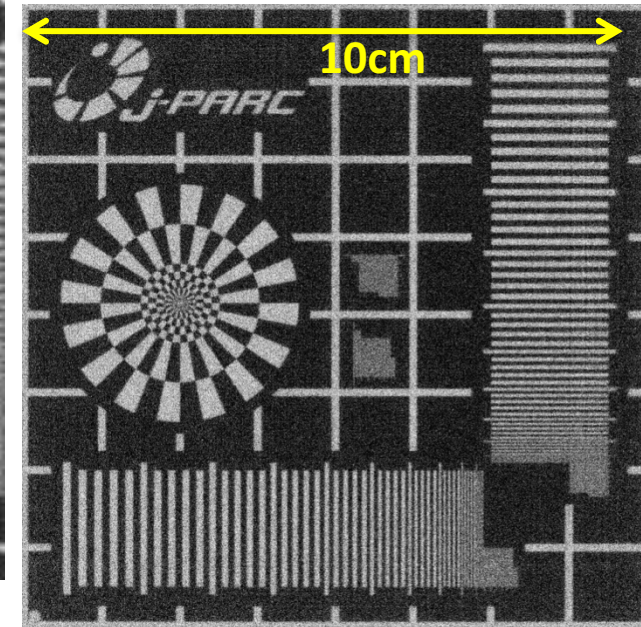


**B- $\mu$ NID (1.6atm)**

Spatial resolution: 0.45 mm

**Count Rate: > 22 Mcps**

Efficiency: 3 ~ 5%



**$\mu$ NID**

**Spatial resolution: 0.1 mm**

Count Rate: 1 Mcps

Efficiency: 26%

**$\mu$ NID** : Now available for user programs.

**B- $\mu$ NID** : Development of  $^{10}\text{B}$  layer for higher efficiency is needed.

Smaller pitch read-out board is under testing. **400 $\mu\text{m}$  -> 200 $\mu\text{m}$**

**LiTA12** : Under development. Centroiding and super resolution methods worked to make better spatial resolution.

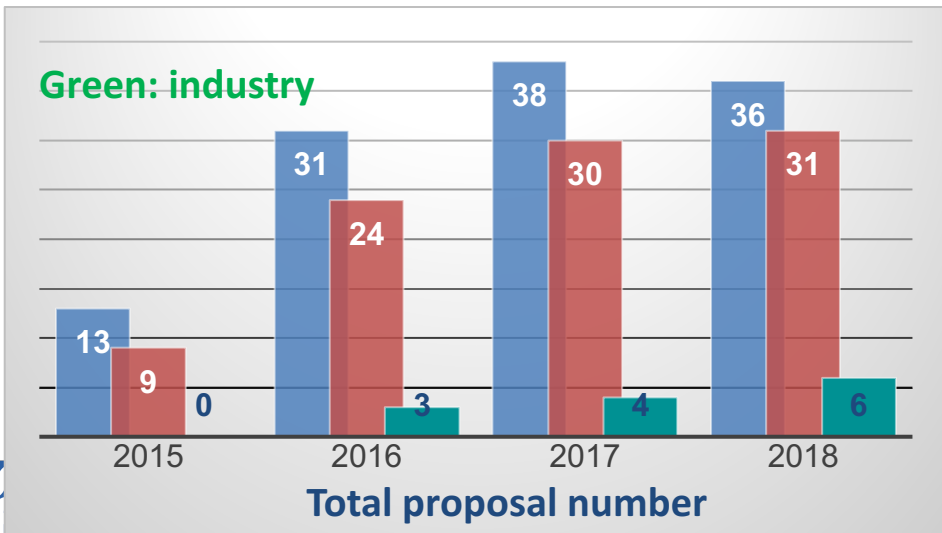
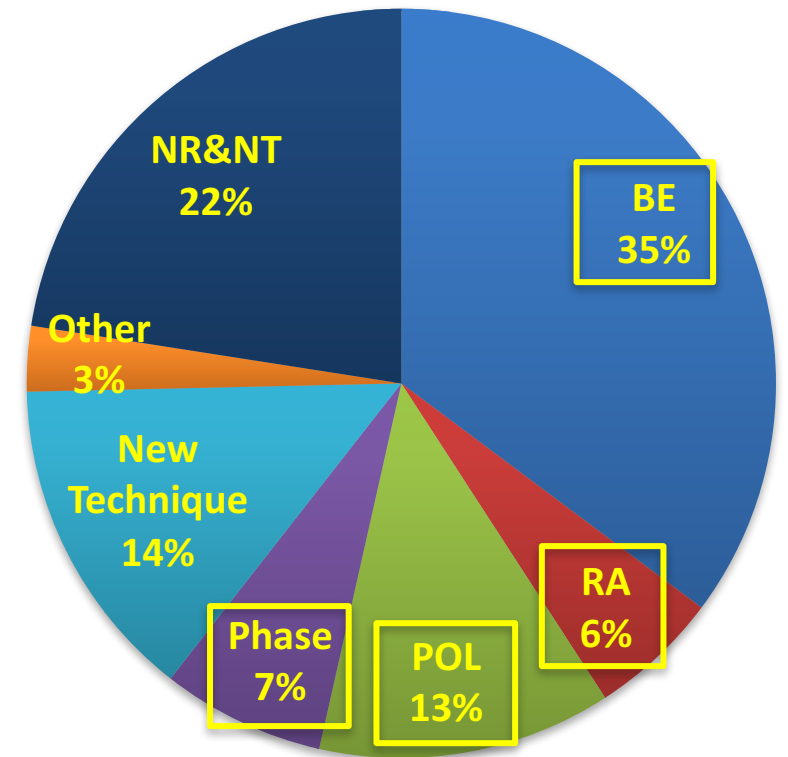
# RADENの利用状況

- ✓ 2018年度の利用日数:176日
- ✓ 採択済み一般課題数:26課題
- ✓ 採択済み長期課題数:3課題

年間実施課題数は30課題程度  
 産業利用関係は徐々に増加  
 課題の約60%がエネルギー分析を活用

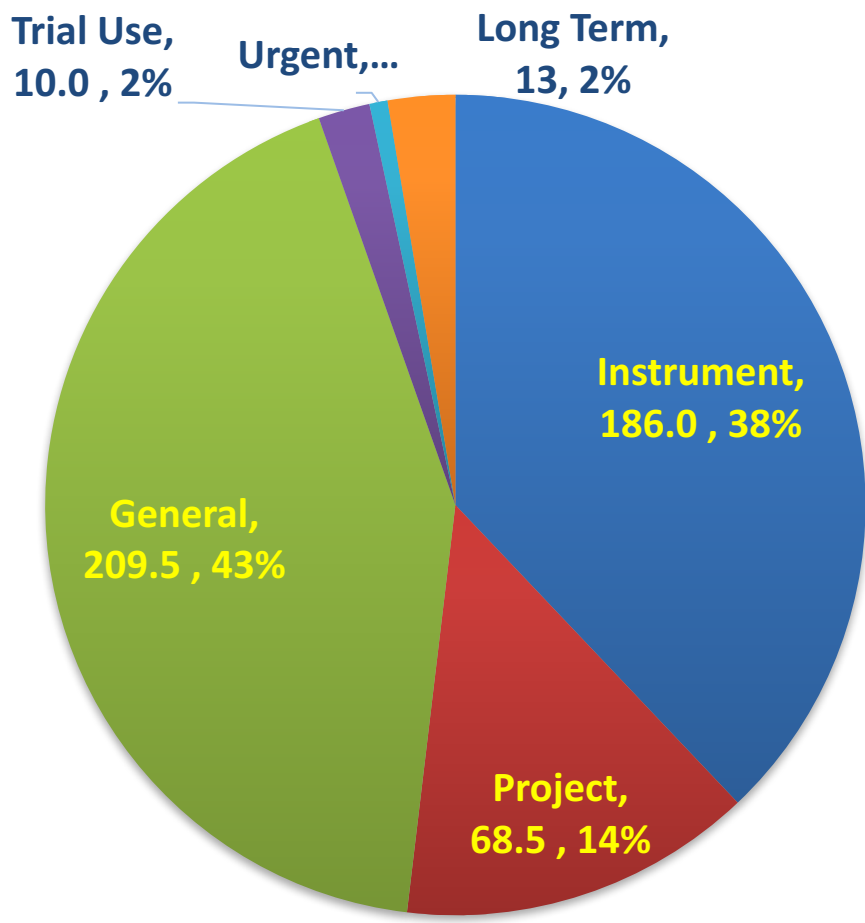


Proposals classified by technique (from 2015 to 2018A)

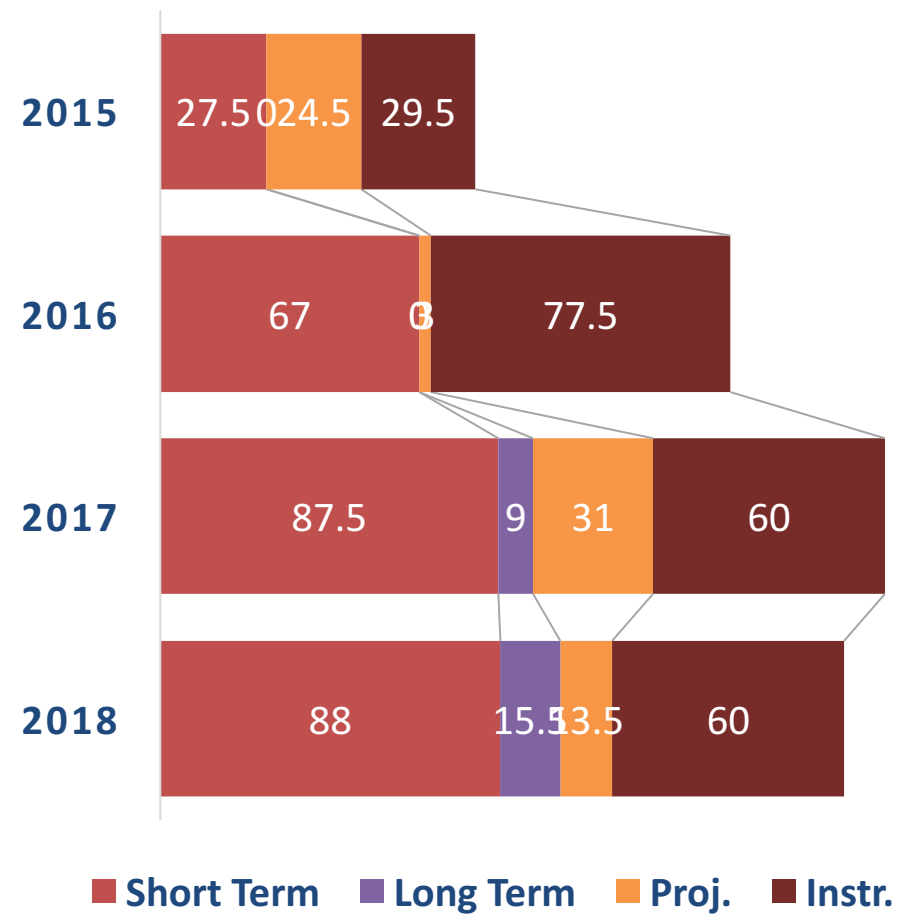


# RADENの利用状況

## Approved beam time in days (accumulated from 2015)



## Approved beam time in days (Yearly trend)

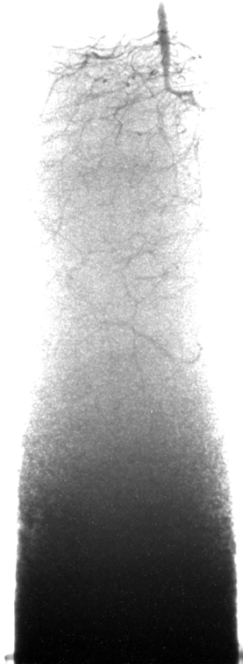


■ Short Term   ■ Long Term   ■ Proj.   ■ Instr.

Internal use (instrument + project use) is gradually reduced.

コミッション中は年間のビームタイムの  
半分以上を内部で使用  
→一般課題の利用日数割合を70%まで増加

### Roots of Soybean



#### 測定の安定性が向上

測定途中での停止等の問題が改善

測定時間の短縮に向けて制御系の改良を実施中

#### エネルギー範囲を限定した測定

熱外中性子を用いた強吸収観察対象の撮像

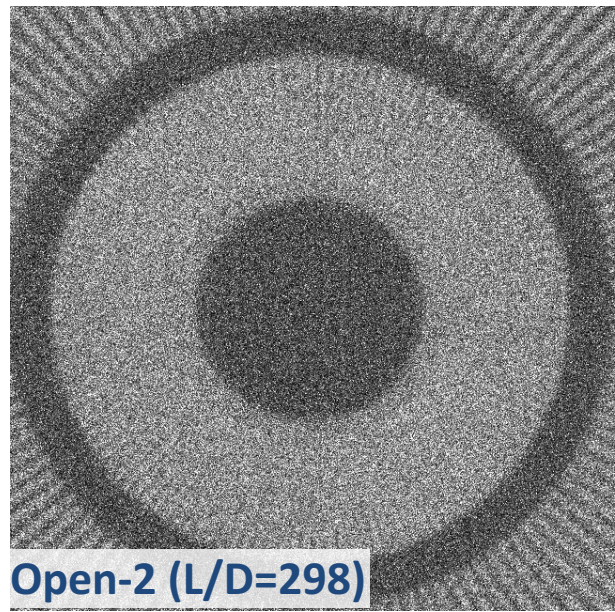
計数型検出器を利用した飛行時間分析と組合せた実験 (Parkerさん)

Fine spatial resolution ~ 15  $\mu\text{m}$  (Thanks to Dr. A. Tremsin)

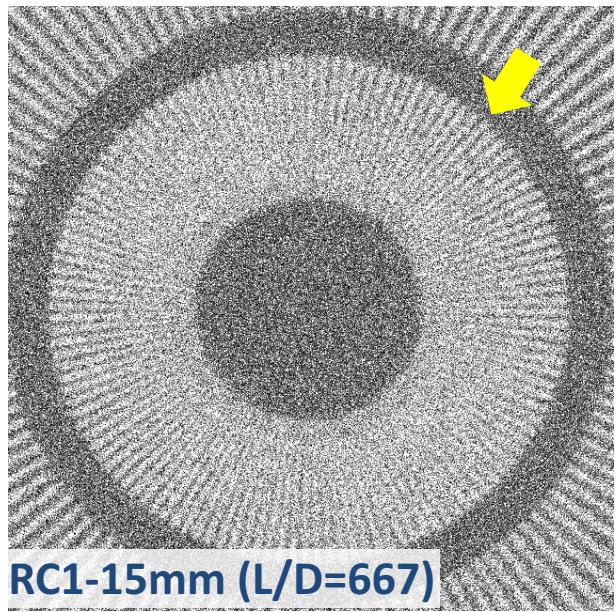


PSI-Siemens star

MCP detector

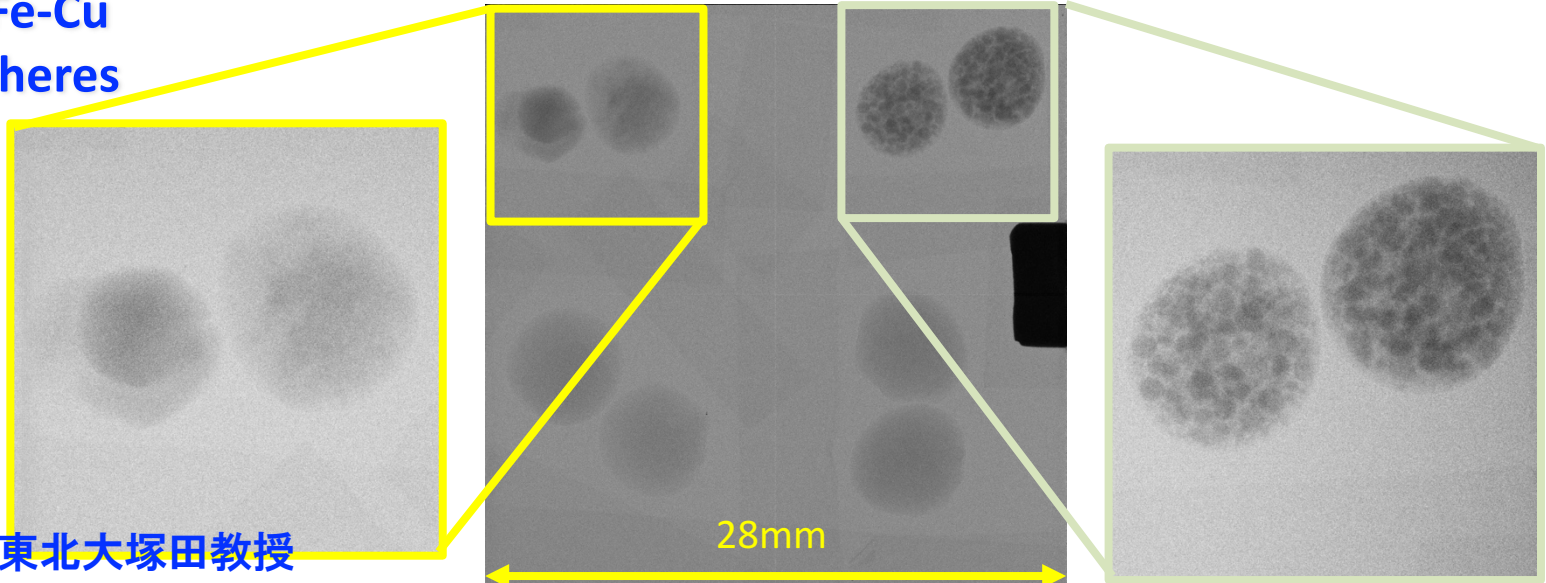


Open-2 (L/D=298)



RC1-15mm (L/D=667)

Co-Cu, Fe-Cu alloy spheres

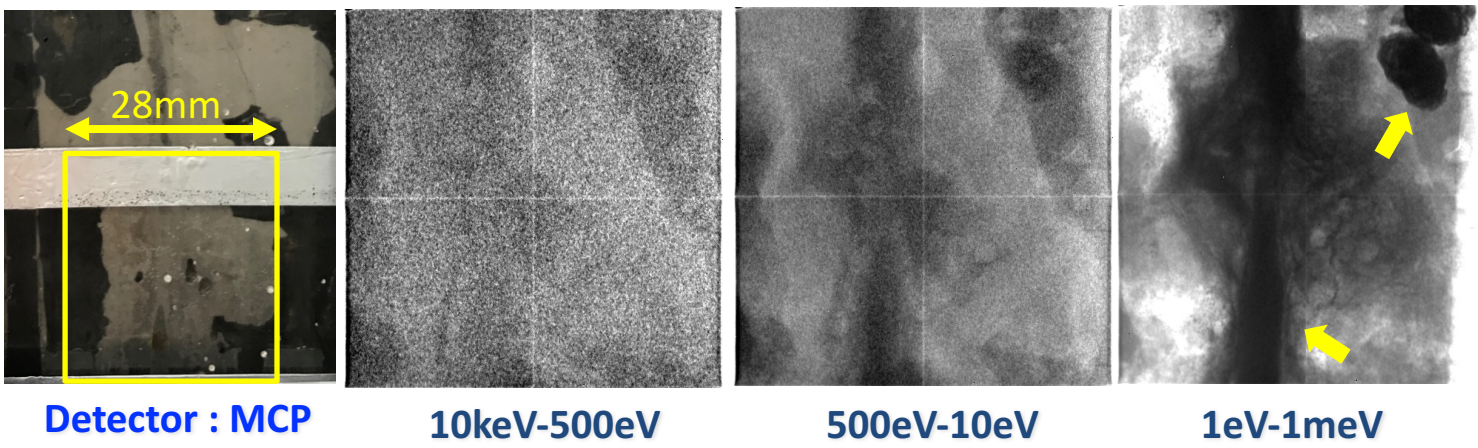


28mm

協力: 東北大塚田教授

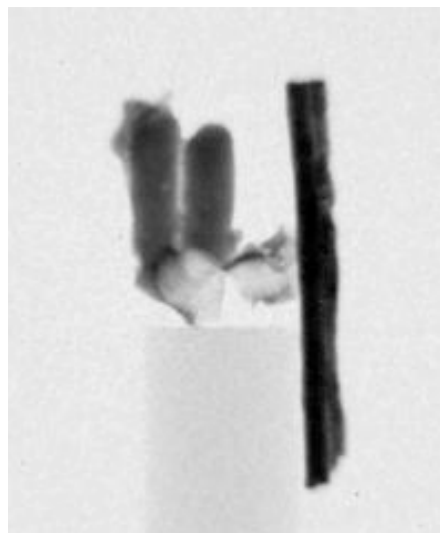
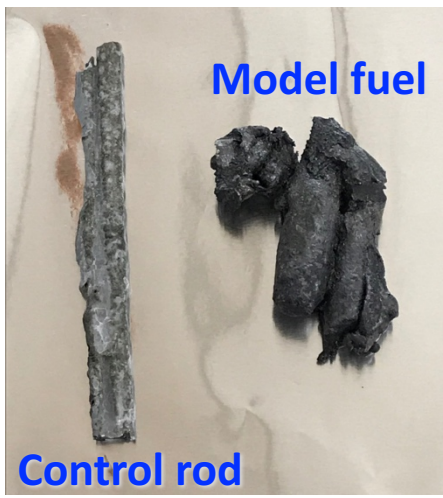
To clarify Boron concentration in melted fuels

## Energy dependent radiography



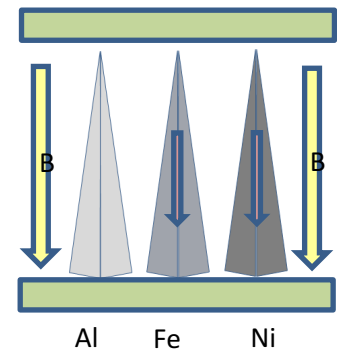
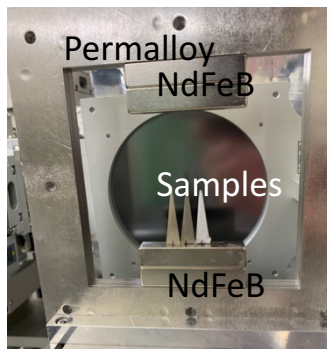
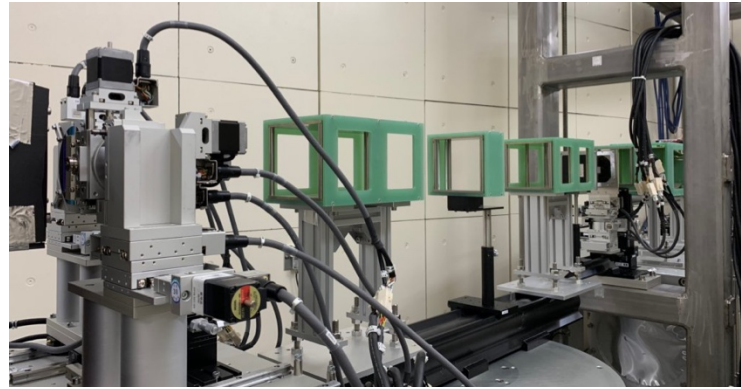
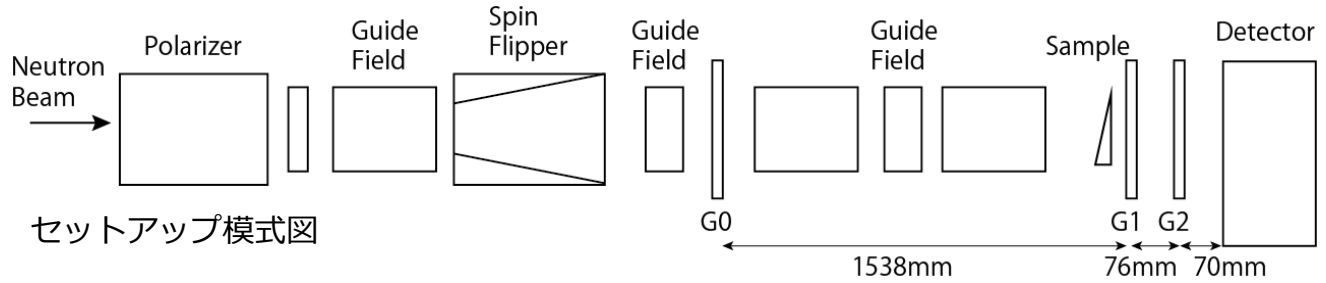
## Epi-thermal neutron tomography

For strong absorption material study

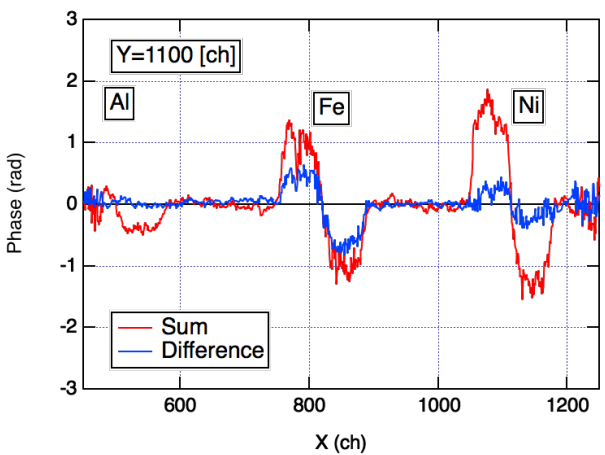
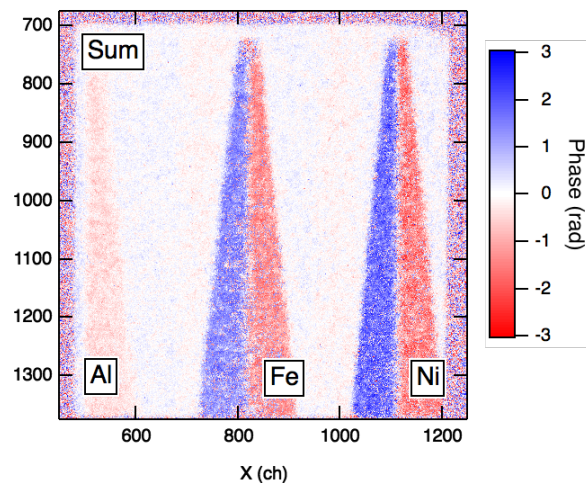
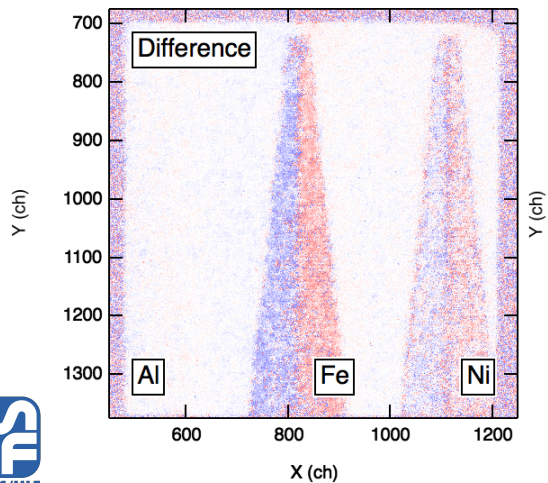


A model body for the Core Material Melting and Relocation (CMMR) study

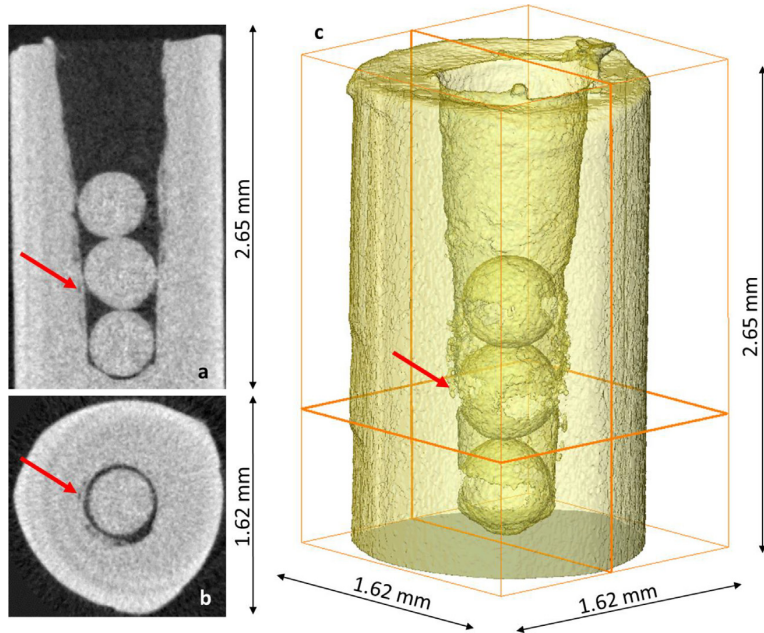
## 磁気有感型位相イメージング実験(偏極中性子位相イメージング)



三角錐形状サンプル (Al, Fe, Ni)

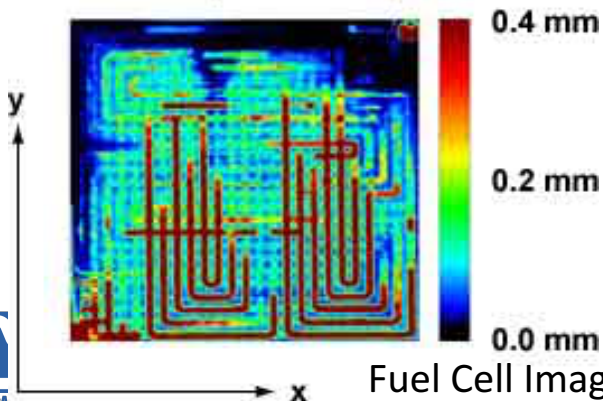


世界のイメージング技術の動向 → 空間分解能の向上は不可欠



By Dr. P. Trtik@PSI MethodsX 4(2017) 492

Image of water distribution with thickness represented by color



Fuel Cell Imaging @NIST

中性子顕微鏡プロジェクト @PSI, NIST

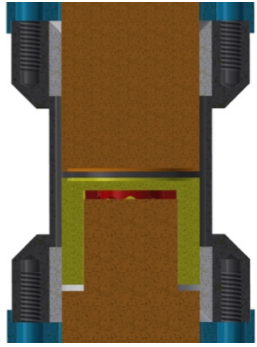
1 $\mu$ mの空間分解能がターゲット

RADENの現状の技術

- カメラ型 : CCDカメラで40 $\mu$ m
- 計数型 :  $\mu$ NIDで100 $\mu$ m

改善方法

- CMOSカメラの短時間撮像データの重心処理
- NIST, HZBで実証済みの技術を導入
- 暗箱のデザインの見直し
- GdOxシンチレータ
- 光学レンズ配置の再検討
- $\mu$ NIDに使用する $\mu$ PIC読出し基板の微細化 (MEMS- $\mu$ PICのテスト)



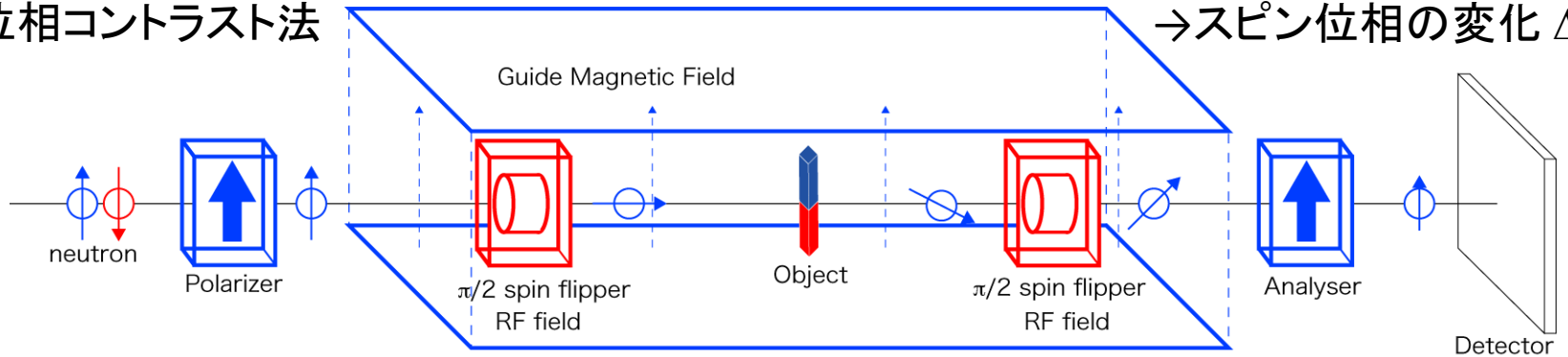
Liイオン2次電池内の電流密度分布の解析

電流が作る磁場の解析し、電池内部の電流分布を可視化

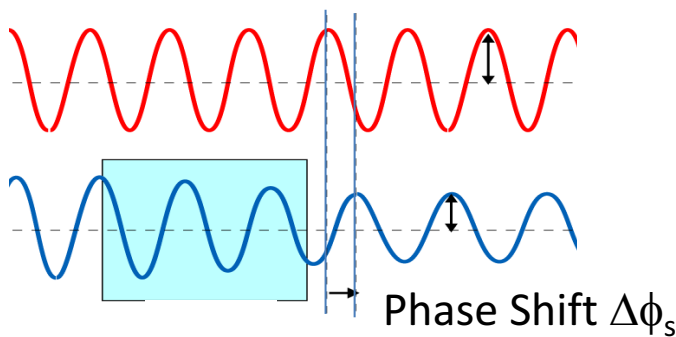
→ 地磁場の1/10程度の磁場

試料による磁場  
→ スピン位相の変化  $\Delta\phi_s$

スピン位相コントラスト法



検出器位置で得られる偏極度の振動



$$\Delta\phi_s = \omega_s t = \gamma B_s \cdot L_s / v \quad (\text{Ramsey method})$$

$$\Delta\phi_s = 2\omega_s t = 2\gamma B_s \cdot L_s / v \quad (\text{Spin interferometry})$$

位相変化の感度 < 1 degree

→  $3 \mu\text{T}\cdot\text{cm}$  for  $\lambda = 6 \text{ \AA}$

(偏極度解析 →  $400 \mu\text{T}\cdot\text{cm}$ )

- J-PARC/MLFのパルス中性子イメージング装置「螺鈿」は2015年より共用運転中
- エネルギー分析型中性子イメージング実験の本格的な実用化・応用研究を推進
- 空間分解能の向上に関する試験を開始。今後さらなる高空間分解能化に向けた開発を進める。
- 位相イメージング開発を推進中。まもなく実際の利用が可能になる予定。
- エネルギー分析型イメージングの高度化として、偏極中性子イメージングの磁場感度の向上を目指す。
- **利用相談・研究協力は随時受け付けています**  
**実験に関する質問・技術開発や実験環境への要望**  
→ 遠慮なくお問い合わせ下さい